

Anexo 2.1 - Regressão linear múltipla referente ao alongamento à rotura por tracção à trama, considerando a totalidade dos tecidos

Equação de regressão:

$$ARTT_{Global} (\%) = -0,04*MM^2 - 3,295*AM + 50,67$$

com um coeficiente de determinação $R^2=0,7340$

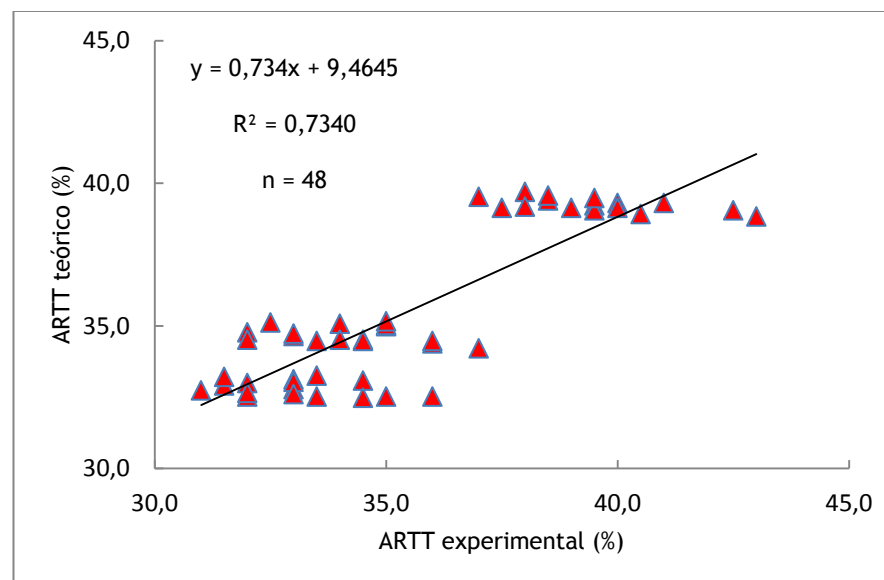


Gráfico A.2.1 - Correlação entre a ARTT experimental _{global} e a ARTT teórica _{global}

Anexo 2.2 - Regressão linear múltipla referente ao alongamento à rotura por tracção à trama, considerando o grupo de tecidos 55% poliéster/45% lã

Equação de regressão:

$$\text{ARTT}_{55/45} (\%) = -0,05 \cdot \text{MM}^2 - 2,926 \cdot \text{AM} + 53,17$$

com um coeficiente de determinação $R^2=0,7388$

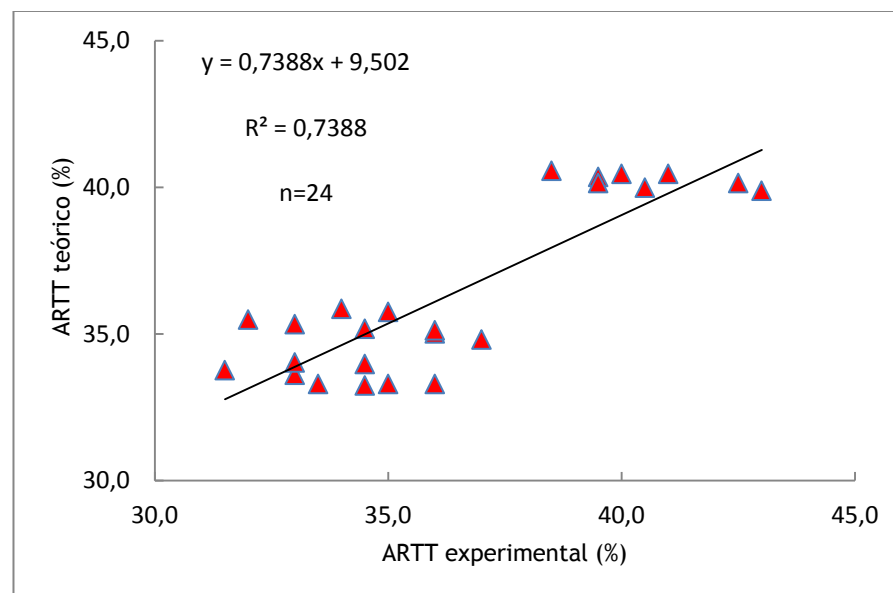


Gráfico A.2.2 - Correlação entre o ARTT experimental $_{55/45}$ e o ARTT teórico $_{55/45}$

Anexo 2.3 - Regressão linear múltipla referente ao alongamento à rotura por tracção à trama, considerando o grupo de tecidos 60% lã/40% poliéster

Equação de regressão:

$$\text{ARTT}_{60/40} (\%) = -0,05 \cdot \text{MM}^2 - 2,683 \cdot \text{AM} + 49,89$$

com um coeficiente de determinação $R^2=0,8844$

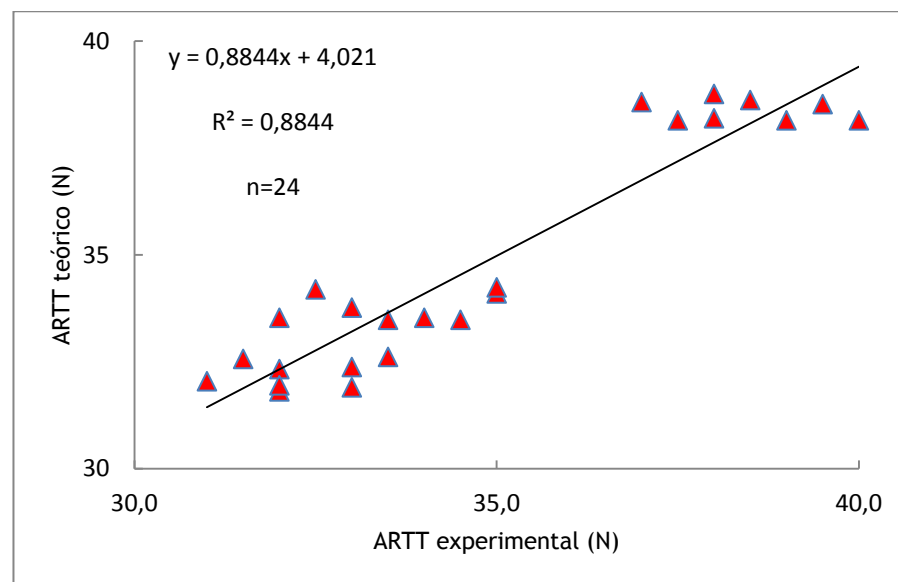


Gráfico A.2.3 - Correlação entre o ARTT experimental $_{60/40}$ e o ARTT teórico $_{60/40}$